

01;05;09

## Модуляционная неустойчивость диспергирующих электромагнитных волн в джозефсоновском переходе в пластине конечной толщины

© А.И. Ломтев

Донецкий физико-технический институт им. А.А. Галкина НАН Украины,  
83114 Донецк, Украина  
e-mail: lomtev@kinetic.ac.donetsk.ua

(Поступило в Редакцию 26 июня 2007 г.)

В рамках нелокальной электродинамики перехода Джозефсона в пластине конечной толщины исследована модуляционная неустойчивость диспергирующих электромагнитных волн конечной амплитуды. Получено дисперсионное уравнение для инкремента нарастания малых амплитудных возмущений. Для указанного типа волн найдены области развития модуляционной неустойчивости и устойчивости волн. Показано, что модуляционная неустойчивость волн развивается в конечной области волновых векторов  $Q_{B1}(k, D, L) < Q < Q_{B2}(k, A, D, L)$ , а в актуальной длинноволновой области  $0 \leq Q \leq Q_{B1}(k, D, L)$  и при  $Q \geq Q_{B2}(k, A, D, L)$  волны являются устойчивыми. Указана уникальная возможность управления областью модуляционной неустойчивости дисперсионным параметром  $k$ -волновым вектором (или частотой  $\omega(k)$ ) мод линейного приближения.

PACS: 74.81.Fa

По настоящее время не ослабевает интерес к исследованию модуляционной неустойчивости волн в различных нелинейных системах и средах [1,2]. Известно [3,4], что сжатие нелинейной волны может происходить как в поперечном, так и продольном направлении по отношению к направлению ее распространения. В качестве примером можно привести самофокусировку света, предсказанную Аскарьяном [5], неустойчивость типа разбиения волны на пакеты и самосжатия волновых пакетов — модуляционную неустойчивость, которая была впервые изучена Лайтхиллом [6].

Модуляционная неустойчивость электромагнитных волн в распределенных джозефсоновских переходах описывается неустойчивостью решений уравнения sine-Gordon. Наряду с теоретическим интересом явление модуляционной неустойчивости имеет ряд практических приложений. Например, оно используется для генерации цепочек сверхкоротких оптических импульсов с высокой частотой посторения, разработки новых логических устройств.

Во многих ситуациях при исследовании модуляционной неустойчивости необходимо рассматривать пространственно нелокальные модификации уравнения sine-Gordon [7–18]. Из-за различной геометрии задач в перечисленных работах уравнения джозефсоновский электродинамики отличаются видом ядра интегрального оператора, описывающего эффект пространственно-нелокальной связи. Однако во всех этих работах пространственная нелокальность уравнений для разности фаз волновых функций на берегах перехода возникает вследствие нелокальной связи магнитного поля на границе раздела и в сверхпроводнике. Такая причина пространственной нелокальности является универсальной для электродинамики джозефсоновских контактов.

Модуляционная неустойчивость в рамках пространственно нелокальной джозефсоновский электродинами-

ки контакта из массивных сверхпроводников с большой толщиной  $d \gg \lambda$  ( $\lambda$  — лондонская глубина проникновения) впервые рассмотрена в работе [7]. Показано, что процесс нарастания малых возмущений амплитуды и фазы отвечает развитию модуляционной неустойчивости электромагнитной волны конечной постоянной амплитуды с нелинейным сдвигом частоты и законом дисперсии мод линейного приближения. Выявлено стабилизирующее влияние пространственной нелокальности на модуляционную неустойчивость. В работе [19] для джозефсоновского перехода также из массивных сверхпроводников с толщиной  $d \gg \lambda$  исследована модуляционная неустойчивость осциллирующей с джозефсоновской частотой плоской нелинейной электромагнитной волны конечной амплитуды, обусловленная нарастанием малых амплитудных возмущений и приводящая к разбиению такой волны на пакеты. В работе [20] исследована модуляционная неустойчивость диспергирующих электромагнитных волн, распространяющихся в джозефсоновском переходе, состоящем из массивных сверхпроводников толщины  $d \gg \lambda$ . Получено дисперсионное уравнение для инкремента нарастания малых амплитудных возмущений. Выявлено стабилизирующее влияние пространственной нелокальности на модуляционную неустойчивость в длинноволновой области. Показано существование возможности управления областью модуляционной неустойчивости дисперсионным параметром  $k$ -волновым вектором (или частотой  $\omega(k)$ ) несущей волны линейного приближения.

В противоположном пределе для джозефсоновского перехода в ультратонкой пленке немагнитного и магнитного (двумерного и трехмерного) сверхпроводника толщиной  $d \ll \lambda$  в работах [21–23] исследована модуляционная неустойчивость однородных джозефсоновских колебаний конечной амплитуды с нелинейным сдвигом частоты, порождаемая нарастанием малых амплитуд-

ных возмущений. В работе [24] в рамках нелокальной джозефсоновской электродинамики исследована модуляционная неустойчивость диспергирующих электромагнитных волн, распространяющихся в джозефсоновском переходе в тонкой сверхпроводящей пленке толщиной  $d \ll \lambda$ . Для диспергирующих волн выявлено стабилизирующее влияние пространственной нелокальности на модуляционную неустойчивость в длинноволновой области. Продемонстрирована возможность управления областью модуляционной неустойчивости при помощи дисперсионного параметра — волнового вектора  $k$  (или частоты  $\omega(k)$ ) волн линейного приближения. Модуляционная неустойчивость бидисперсных, колеблющихся с джозефсоновской частотой, нелинейных электромагнитных возмущений в джозефсоновском переходе в пластине конечной толщины при нелокальной электродинамике исследована в работе [25].

Тем более актуальным представляется исследование развития модуляционной неустойчивости нелинейных электромагнитных диспергирующих волн, распространяющихся в джозефсоновском переходе в пластине конечной толщины (при произвольном отношении  $d/\lambda$ ), которое до сих пор не проводилось.

Одной из нелинейных систем, в которых также может проявляться модуляционная неустойчивость, является переход Джозефсона в сверхпроводящей пластине конечной толщины при произвольном отношении  $d/\lambda$ , когда динамика разности фаз волновых функций на берегах контакта  $\varphi(x, t)$  в пренебрежении диссипацией и затравочным мейсснеровским током описывается нелинейным интегродифференциальным уравнением sine-Gordon с пространственной нелокальностью [17]:

$$\begin{aligned} \sin \varphi(x, t) + \frac{1}{\omega_J^2} \frac{\partial^2 \varphi(x, t)}{\partial t^2} \\ = \frac{\lambda_J^2}{\pi \lambda} \frac{\partial}{\partial x} \int_{-\infty}^{\infty} K(x-x') \frac{\partial \varphi(x', t)}{\partial x'} dx', \end{aligned} \quad (1)$$

где  $\omega_J$  и  $\lambda_J$  — джозефсоновская частота и глубина проникновения соответственно, а интегральное ядро  $K(x)$  имеет вид

$$K(x) = K_0 \left( \frac{|x|}{\lambda} \right) + \frac{1}{d\lambda^2} \int_0^{\infty} \frac{dk J_0(kx)}{\kappa^3 [\kappa + k \coth(\kappa d)]}. \quad (2)$$

Здесь  $K_0\left(\frac{|x|}{\lambda}\right)$  и  $J_0(kx)$  — функции Макдональда и Бесселя нулевого порядка,

$$\kappa = (\lambda^{-2} + k^2)^{1/2}.$$

При аппроксимации  $\sin \varphi(x, t) \approx \varphi(x, t)$  уравнение (1) имеет решение вида диспергирующих мод линейного приближения с бесконечно малой амплитудой  $a_0$

$$\varphi_0(x, t) = a_0 \exp \{ \pm i[kx - \omega(k)t] \} \quad (3)$$

и спектром

$$\tilde{\omega}^2(\tilde{k}) = 1 + L\tilde{k}^2 \left[ \frac{1}{\sqrt{1 + \tilde{k}^2}} + \frac{1}{\pi D} J(\tilde{k}) \right], \quad (4)$$

где

$$\begin{aligned} J(\tilde{k}) = \int_0^{\infty} [1 + \tilde{k}^2 \cosh^2 x]^{-3/2} \left[ \sqrt{1 + \tilde{k}^2 \cosh^2 x} \right. \\ \left. + \tilde{k} \cosh x \coth \left( D \sqrt{1 + \tilde{k}^2 \cosh^2 x} \right) \right]^{-1} dx. \end{aligned} \quad (5)$$

Здесь введены безразмерные величины  $\tilde{\omega}(\tilde{k}) = \omega(\tilde{k})/\omega_J$ ,  $\tilde{k} = \lambda k$  и параметры  $L = \lambda_J^2/\lambda^2$ ,  $D = d/\lambda$ .

При аппроксимации в уравнении (1)  $\sin \varphi(x, t) \approx \varphi(x, t) - \varphi(x, t)^3/3!$  [26] рассмотрим эволюцию нелинейных волн малой, но конечной амплитуды типа бризера в переходе. Представим разность фаз  $\varphi(x, t)$  в виде

$$\begin{aligned} \varphi(x, t) = u(x, t) \exp \{ i[kx - \omega(k)t] \} \\ + u^*(x, t) \exp \{ i[kx - \omega(k)t] \}, \quad |u(x, t)| \ll 1. \end{aligned} \quad (6)$$

Учтем в уравнении (1) низжайший порядок нелинейности на фазе основной несущей гармонки и ограничимся приближением медленно меняющейся во времени амплитуды  $u(x, t)$ , когда справедливо неравенство  $|\partial^2 u(x, t)/\partial t^2| \ll 2\omega(k)|\partial u(x, t)/\partial t|$ . Тогда из уравнения (1) при подстановке в него поля (6) для амплитуды  $u(x, t)$  получим нелинейное нелокальное „уравнение Шредингера“

$$\begin{aligned} 2i \frac{\omega(k)}{\omega_J^2} \frac{\partial u(x, t)}{\partial t} + \left[ \frac{\omega^2(k)}{\omega_J^2} - 1 + \frac{1}{2} |u(x, t)|^2 \right] u(x, t) \\ + \frac{\lambda_J^2}{\pi \lambda} \frac{\partial}{\partial x} \int_{-\infty}^{\infty} K(x-x') \left[ \frac{\partial u(x', t)}{\partial x'} + iku(x', t) \right] \\ \times \exp[-ik(x-x')] dx' = 0, \end{aligned} \quad (7)$$

которое имеет точное решение вида однородной плоской нелинейной волны с постоянной амплитудой  $A$ :

$$u_0(t) = A \exp[iA^2 \omega_J^2 t / 4\omega(k)], \quad A \ll 1. \quad (8)$$

Исследуем устойчивость такого решения. О характере распада плоской волны (8) можно судить по развитию ее малых возмущений. С этой целью допустим, что случайно возникло малое возмущение амплитуд  $\psi(x, t)$ , когда

$$u(x, t) = [A + \psi(x, t)] \exp[iA^2 \omega_J^2 t / 4\omega(k)], \quad |\psi(x, t)| \ll A. \quad (9)$$

Из уравнения (7) для малого возмущения амплитуды  $\psi(x, t)$  следует линейное уравнение

$$\begin{aligned} & 2i \frac{\omega(k)}{\omega_j^2} \frac{\partial \psi(x, t)}{\partial t} + \left[ \frac{\omega^2(k)}{\omega_j^2} - 1 \right] \psi(x, t) \\ & + \frac{1}{2} A^2 [\psi(x, t) + \psi^*(x, t)] \\ & + \frac{\lambda_j^2}{\pi \lambda} \frac{\partial}{\partial x} \int_{-\infty}^{\infty} K(x-x') \left[ \frac{\partial \psi(x', t)}{\partial x'} + ik\psi(x', t) \right] \\ & \times \exp[-ik(x-x')] dx' = 0. \end{aligned} \quad (10)$$

Полагая в уравнении (10)  $\psi(x, t) = v(x, t) + iw(x, t)$ , для действительной и мнимой частей возмущения амплитуды получим систему уравнений

$$\begin{aligned} & 2 \frac{\omega(k)}{\omega_j^2} \frac{\partial v(x, t)}{\partial t} + \left[ \frac{\omega^2(k)}{\omega_j^2} - 1 \right] w(x, t) \\ & + \frac{\lambda_j^2}{\pi \lambda} \frac{\partial}{\partial x} \int_{-\infty}^{\infty} K(x-x') \left[ \frac{\partial w(x', t)}{\partial x'} + kv(x', t) \right] \\ & \times \exp[-ik(x-x')] dx' = 0, \\ & -2 \frac{\omega(k)}{\omega_j^2} \frac{\partial w(x, t)}{\partial t} + \left[ \frac{\omega^2(k)}{\omega_j^2} - 1 + A^2 \right] v(x, t) \\ & + \frac{\lambda_j^2}{\pi \lambda} \frac{\partial}{\partial x} \int_{-\infty}^{\infty} K(x-x') \left[ \frac{\partial v(x', t)}{\partial x'} - kw(x', t) \right] \\ & \times \exp[-ik(x-x')] dx' = 0. \end{aligned} \quad (11)$$

Для возмущений амплитуды вида (произвольные возмущения можно представить как суперпозицию таких полей)

$$\begin{aligned} v(x, t) &= V(Q, \Omega) \exp[i(Qx - \Omega t)], \\ w(x, t) &= W(Q, \Omega) \exp[i(Qx - \Omega t)] \end{aligned} \quad (12)$$

из системы уравнений (11) следует дисперсионное уравнение  $\tilde{\Omega} = \tilde{\Omega}(\tilde{Q})$ :

$$\begin{aligned} \tilde{\Omega}(\tilde{Q}) &= \frac{\tilde{k}}{2(\tilde{k} + \tilde{Q})\tilde{\omega}(\tilde{k})} [\tilde{\omega}^2(\tilde{k} + \tilde{Q}) - 1] \\ & \pm \frac{1}{2\tilde{\omega}(\tilde{k})} \left\{ \frac{1}{\tilde{k} + \tilde{Q}} [\tilde{k} + \tilde{Q}\tilde{\omega}^2(\tilde{k} + \tilde{Q})] - \tilde{\omega}^2(\tilde{k}) \right\}^{1/2} \\ & \times \left\{ \frac{1}{\tilde{k} + \tilde{Q}} [\tilde{k} + \tilde{Q}\tilde{\omega}^2(\tilde{k} + \tilde{Q})] - \tilde{\omega}^2(\tilde{k}) - A^2 \right\}^{1/2}, \end{aligned} \quad (13)$$

где  $\tilde{\omega}(\tilde{k})$  определяется соотношением (4) с учетом (5) и введены безразмерные величины  $\tilde{\Omega}(\tilde{Q}) = \Omega(\tilde{Q})/\omega_j$  и  $\tilde{Q} = \lambda Q$ .

Дисперсионное уравнение (13) с учетом соотношений (4), (5) для инкремента нарастания возмущения всегда имеет положительное решение  $\text{Im}\tilde{\Omega}(\tilde{Q}) > 0$  в области волновых векторов  $\tilde{Q}_{B1}(k, D, L) < \tilde{Q} < \tilde{Q}_{B2}(k, A, D, L)$ , в которой малые возмущения амплитуды (12) нарастают со временем, и при этом развивается модуляционная неустойчивость однородной плоской нелинейной волны (8). В областях волновых векторов  $0 \leq \tilde{Q} \leq \tilde{Q}_{B1}(k, D, L)$  и  $\tilde{Q} \geq \tilde{Q}_{B2}(k, A, D, L)$   $\text{Im}\tilde{\Omega}(\tilde{Q}) \equiv 0$ , и волна является устойчивой. Пограничный волновой вектор  $\tilde{Q}_{B1}(k, D, L)$  определяется нетривиальным решением уравнения

$$\tilde{k} + \tilde{Q}\tilde{\omega}^2(\tilde{k} + \tilde{Q}) = (\tilde{k} + \tilde{Q})\tilde{\omega}^2(\tilde{k}), \quad (14)$$

а пограничный волновой вектор  $\tilde{Q}_{B2}(k, A, D, L)$  определяется нетривиальным решением соотношения

$$\frac{1}{\tilde{k} + \tilde{Q}} [\tilde{k} + \tilde{Q}\tilde{\omega}^2(\tilde{k} + \tilde{Q})] - \tilde{\omega}^2(\tilde{k}) = A^2. \quad (15)$$

Максимальное значение инкремента нарастания возмущений равно

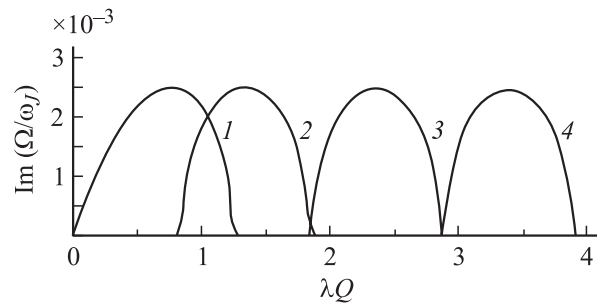
$$(\text{Im}\tilde{\Omega}(\tilde{Q}_m))_{\max} = A^2/4\tilde{\omega}(\tilde{k}) \quad (16)$$

и достигается при значении волнового вектора  $\tilde{Q}_m$ , являющегося корнем уравнения

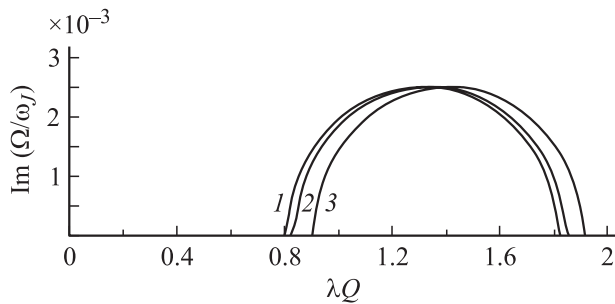
$$\frac{1}{\tilde{k} + \tilde{Q}} [\tilde{k} + \tilde{Q}\tilde{\omega}^2(\tilde{k} + \tilde{Q})] - \tilde{\omega}^2(\tilde{k}) = A^2/2. \quad (17)$$

Диспергирующая однородная плоская нелинейная волна (8) с учетом (4) в процессе развития модуляционной неустойчивости будет эволюционировать в цепочку импульсов — малоамплитудных бризеров, частота повторения которых определяется периодом модуляции исходной волны  $L_0 = 2\pi/Q$ , где  $Q_{B1}(k, D, L) < Q < Q_{B2}(k, A, D, L)$ .

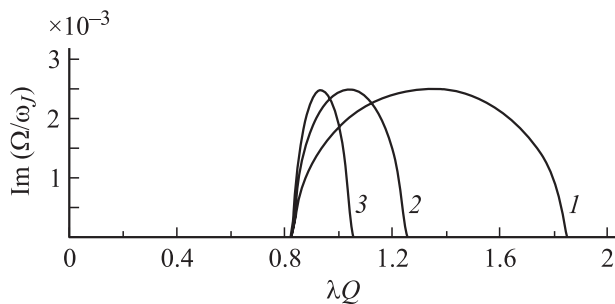
Численные расчеты проводились с использованием программы „MATLAB R12“, характеризующейся своей точностью и надежностью полученных результатов. На рис. 1 показана управляемая волновым вектором  $\tilde{k}$  (или частотой  $\tilde{\omega}(\tilde{k})$ ) область модуляционной неустойчивости



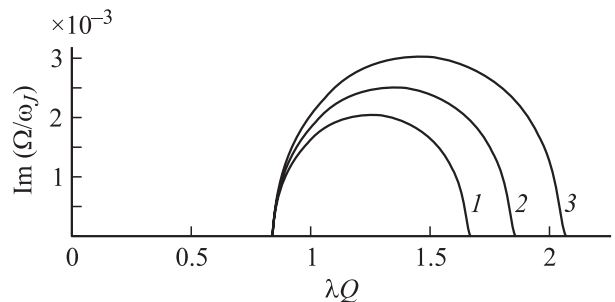
**Рис. 1.** Управляемая область модуляционной неустойчивости диспергирующих электромагнитных волн при постоянных параметрах  $A = 10^{-1}$ ,  $D = 1$ ,  $L = 10^{-2}$  для величины волнового вектора  $k = 0 - 1, 1 - 2, 2 - 3, 3 - 4$ .



**Рис. 2.** Области модуляционной неустойчивости диспергирующих электромагнитных волн при постоянных параметрах  $A = 10^{-1}$ ,  $k = 1$ ,  $L = 10^{-2}$  для величины приведенной толщины пластины  $D = 10^3$  — 1,  $10^{-3}$  — 3.



**Рис. 3.** Области модуляционной неустойчивости диспергирующих электромагнитных волн при постоянных параметрах  $A = 10^{-1}$ ,  $k = 1$ ,  $D = 1$  для  $L = 10^{-2}$  — 1,  $2.5 \cdot 10^{-2}$  — 2,  $5 \cdot 10^{-2}$  — 3.



**Рис. 4.** Области модуляционной неустойчивости диспергирующих электромагнитных волн при постоянных параметрах  $k = 1$ ,  $D = 1$  для  $L = 10^{-2}$  для величины амплитуды  $A = 0.9 \cdot 10^{-1}$  — 1,  $10^{-1}$  — 2,  $1.1 \cdot 10^{-1}$  — 3.

диспергирующей плоской нелинейной электромагнитной волны (4), (8) при фиксированных значениях параметров  $A, D, L$  для четырех значений приведенного волнового вектора  $\tilde{k}$ .

На рис. 2 представлены области модуляционной неустойчивости электромагнитной волны (4), (8) при фиксированных значениях параметров  $A, \tilde{k}, L$  для трех значений приведенной толщины пластины  $D$ .

На рис. 3 изображены области модуляционной неустойчивости электромагнитной волны (4), (8) при

фиксированных значениях параметров  $k, A, D$  для трех значений параметра  $L$ .

На рис. 4 демонстрируются области модуляционной неустойчивости электромагнитной волны (4), (8) при фиксированных значениях параметров  $k, D, L$  для трех значений амплитуды  $A$ .

Итак, в работе показано, что модуляционная неустойчивость диспергирующей плоской нелинейной волны (4), (8) развивается в конечной области волновых векторов  $Q_{B1}(k, D, L) < Q < Q_{B2}(k, A, D, L)$ . Для возмущений амплитуды в областях волновых векторов  $0 \leq Q \leq Q_{B1}(k, D, L)$  и  $Q \geq Q_{B2}(k, A, D, L)$  диспергирующая плоская нелинейная электромагнитная волна (4), (8) является устойчивой.

Экспериментально развитие модуляционной неустойчивости возможно наблюдать в длинных переходах Джозефсона в пластинах конечной толщины для произвольного отношения  $d/\lambda$  при возбуждении в них диспергирующих волн малой, но конечной амплитуды.

В заключение автор выражает искреннюю признательностью Ю.В. Медведеву и И.Б. Краснюку за полезные обсуждения, внимание и поддержку.

### Список литературы

- [1] Hall B., Lisak M., Anderson D., Semenov V.E. // Phys. Lett. A. 2004. Vol. 321. N 4. P. 255–262.
- [2] Wen-Cheng X., Shu-Min Zh., Wei-Cheng Ch., Ai-Ping L., Song-Hao L. // Opt. Commun. 2001. Vol. 199. N 5–6. P. 355–360.
- [3] Карпман В.И. Нелинейные волны в диспергирующих средах. М.: Наука, 1973. 176 с.
- [4] Кадомцев Б.Б. Коллективные явления в плазме. М.: Наука, 1976. 240 с.
- [5] Аскарьян Г.А. // ЖЭТФ. 1962. Т. 42. Вып. 6. С. 1567–1572.
- [6] Lighthill M.J. // J. Instr. Math. Appl. 1965. Vol. 1. N 2. P. 262–273.
- [7] Алиев Ю.М., Силин В.П., Урюпин С.А. // Сверхпроводимость. 1992. Т. 5. Вып. 2. С. 228–235.
- [8] Gurevich A. // Phys. Rev. B. 1992. Vol. 46. N 5. P. 3187–3190.
- [9] Иванченко Ю.М., Соболева Т.К. // Письма в ЖЭТФ. 1990. Т. 51. Вып. 2. С. 100–102.
- [10] Ivanchenko Yu.M., Soboleva T.K. // Phys. Lett. A. 1990. Vol. 147. N 1. P. 65–69.
- [11] Иванченко Ю.М., Соболева Т.К. // ФТТ. 1990. Т. 32. Вып. 7. С. 2029–2033.
- [12] Mints R.G., Sapiro I.B. // Phys. Rev. B. 1995. Vol. 51. N 5. P. 3054–3057.
- [13] Ломтев А.И. // Письма в ЖЭТФ. 1999. Т. 69. Вып. 2. С. 132–138.
- [14] Ломтев А.И. // ФТТ. 2000. Т. 42. Вып. 1. С. 16–22.
- [15] Ломтев А.И. // ЖТФ. 2000. Т. 70. Вып. 9. С. 63–67.
- [16] Кулик И.О., Янсон И.К. Эффект Джозефсона в сверхпроводящих туннельных структурах. М.: Наука, 1970. 272 с.
- [17] Кузовлев Ю.Е., Ломтев А.И. // ЖЭТФ. 1997. Т. 111. Вып. 5. С. 1803–1809.
- [18] Ломтев А.И. // ЖЭТФ. 1998. Т. 113. Вып. 6. С. 2256–2262.
- [19] Абдуллаев Ф.Х. // Письма в ЖТФ. 1997. Т. 23. Вып. 2. С. 8–11.

- [20] Ломтев А.И. // Письма в ЖТФ. 2004. Т. 30. Вып. 4. С. 6–14.
- [21] Ломтев А.И. // Письма в ЖТФ. 2003. Т. 29. Вып. 8. С. 72–78.
- [22] Ломтев А.И. // ФТТ. 2003. Т. 45. Вып. 8. С. 1358–1363.
- [23] Ломтев А.И. // ЖТФ. 2003. Т. 73. Вып. 11. С. 64–68.
- [24] Ломтев А.И. // ФТТ. 2003. Т. 45. Вып. 12. С. 2131–2135.
- [25] Ломтев А.И. // ЖТФ. 2005. Т. 75. Вып. 1. С. 123–126.
- [26] Додд Р., Эйлбек Дж., Гиббсон Дж., Моррис Х. Солитоны и нелинейные волновые уравнения. М.: Мир, 1988. 694 с.